# KARAKTERISTIK MORFOTEKTONIK SUB DAS CIKAPUNDUNG DAN KAITANYA TERHADAP RESPON LITOLOGI GUNUNGAPI **KUARTER**

**Supriyadi**<sup>1\*</sup>, Nana Sulaksana<sup>1</sup>, Ismawan <sup>1</sup>, Pradnya P. Raditya<sup>1</sup>, Murni Sulastri S<sup>1</sup> <sup>1</sup>Fakultas Teknik Geologi Universitas Padjadjaran, Bandung

\*Korespondensi: supriyadizircon94@gmail.com

#### **ABSTRAK**

Sub DAS Cikapundung merupakan salah satu Sub DAS yang berada di hulu Sungai Citarum.Penelitian ini bertujuan untuk mengidentifikasi patahan aktif dan respon litologi pada Sub DAS Cikapundung berdasarkan analisis morfometri yang berupa; rasio percabangan sungai(Rb), sinusitas muka gunung (Smf), rasio perbandingan lebar dasar lembah dengan tinggi lembah (Vf),dan asimetri sungai (AF) pada sub DAS Cikapundung. Berdasarkan parameter analisis morfometri tersebut dapat simpulkan bahwa di daerah penelitian terdapat patahan aktif kelas menengah sampai lemah. Namun terdapat perbedaan variasi nilai Smf dan Vf yang signifikan menunjukan adanya pengaruh respon litologi gunungapi kuarter terhadap kajian morfotektonik daerah penelitian. Litologi gunungapi kuarter yang kurang resisten terhadap pelapukan dan erosi ditunjukan dengan adanya nilai Smf dan Vf yang lebih tinggi.

Kata Kunci: Sub DAS Cikapundung, Active Fault, Respon Litologi

#### **ABSTRACT**

Cikapundung Sub-watershed is one of the sub-watersheds located in the upper reaches of the Ciatrum River.This study aimed to identify the level of active fault and lithology response based on morphometry analysis; bifurcation ratio(Rb), sinuosity of mountain front (Smf), ratio of valley floor width to valley height (Vf), and asymmetry factors (Af). Based on the parameters of the morphometric analysis, it can be concluded that in the research area there is active fault of middle to weak class. However, there are differences of variation value Smf and Vf which showed significant influence of lithology response to morphotectonic study in research area. Quarterly volcanic lithology is less resistant to weathering and erosion that indicated by higher Smf and Vf values.

**Keywords**: Cikapundung Sub-watershed, Active Fault, LithologyResponse

#### 1. PENDAHULUAN

Kondisi tatanan geologi di Jawa Barat sangat unik untuk dipelajari, karena letak Jawa Barat secara geologi dipengaruhi oleh pertemuan lempeng Indo- Australia lempeng Eurasia. Oleh karena pergerakan lempeng tersebut menyebabkan kondisi struktur geologi salah satunya adalah struktur sesar. Struktur sesar yang aktif dapat menjadi sumber bencana salah satunya adalah bencana gempa bumi seperti zona sesar aktif utama yang ada di jawa barat yang menurut Soehaimi (2011) menyatakan bahwa Sesar aktif di Jawa

Barat yang menjadi sumber gempa bumi adalah sesar aktif Cimandiri, sesar aktif Baribis dan sesar aktif Lembang. Dari kondisi geologi tersebut, salah satu yang menarik untuk dibahas adalah studi karakteristik sub DAS Cikapundung dan kaitannva terhadap respon litologi gunungapi kuarter yang masih berhubungan dengan aktifitas sesar Lembang.

Studi morfotektonik mempelajari tentang segala hal menyangkut hubungan antara struktur geologi dengan bentukan lahan (Stewart and Hancock, 1994 dalam Hidayat, 2010). Dalam penelitian ini studi morfotektonik melalui analisis morfometri

digunakan untuk mengidentifikasi tingkat aktifitas tektonik Sub DAS Cikapundung Kecamatan Lembang, Kabupaten Bandung Barat.

#### 2. TINJAUAN PUSTAKA

Menurut Silitonga (1973), endapan tertua pada wilayah daerah penelitian secara regional merupakan endapan hasil vulkanik tua tak teruraikan (Qvu) dengan litologi breksi gunungapi, lahar, dan lava berselangseling. Satuan ini berumur Pleistosen Atas dan satuan ini pula disamakan kepada Formasi Cikapundung Koesoemadinata dan Hartono (1981) dan merupakan bagian dari Zona Pegunungan Kompleks Sunda Yang Telah Padam pada stratigrafi oleh Bemmelen(1949).Selanjutnya, Silitonga (1973) mengatakan bahwa endapan tersebut diikuti oleh Endapan Hasil Vulkanik Muda Tak Teruraikan (Qyu) dengan litologi pasir tufaan (Qyd) , lapili, breksi, lava, dan agglomerat, dan tuffa berbatuapung (Qyt). Satuan ini berumur Holosen dan satuan ini disamakan dengan Formasi Cibeureum dan Formasi Kosambi pada Koesoemadinata dan Hartono (1981) serta merupakan bagian muda dari Zona Pegunungan Kompleks Sunda Yang Telah Padam pada stratigrafi oleh Bemmelen (1949).Endapan setelahnya diikuti oleh Endapan Kolovium yang terdiri dari reruntuhan hasil volkanik tua, endapan ini disamakan dengan Formasi Cikadang pada Koesoemadinata dan Hartono (1981) Endapan Kolovium dan Endapan Aluvium merupakan satuan vang berumur Holosen,dimana Endapan Kolovium relatif lebih tua daripada Endapan Aluvium.

#### 3. METODE

Metode penelitian yang digunakan dalam penelitian ini adalah analisis studio yang menggunakan software Mapinfo dan Global Mapper untuk mengolah data parameter morfometri DAS. Morfometri DAS dapat diartikan sebagai nilai kuantitatif pada jaringan sungai (Van Zuidam, 1985). Perhitungan morfometri DAS yang digunakan dalam penelitian ini

berupa rasio percabangan sungai(Rb), sinusitas muka gunung (*Smf*), rasio perbandingan lebar dasar lembah dengan tinggi lembah (*Vf*),dan asimetri sungai (*AF*) pada sub DAS Cikapundung.

### Rasio Percabangan Sungai

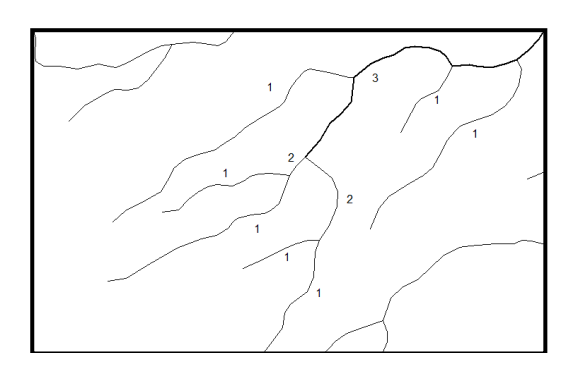
Orde atau rasio cabang sungai (bifurcation ratio/Rb) adalah posisi percabangan alur sungai di dalam urutannya terhadap induk sungai dalam DAS (Soewarno, 1991). Penentuan nilai orde sungai dapat menggunakan beberapa metode, salah satunya adalah metode Strahler. Penentuan orde sungai menurut Strahler (1952), yaitu segmen yang tidak memiliki percabangan merupakan orde pertama. Ketika dua segmen orde pertama bergabung maka terbentuk orde kedua, dan seterusnya.

$$Rb = \frac{Nu}{Nu+1}$$

Keterangan:

 $\begin{array}{ll} Rb & : Indeks \ rasio \ cabang \ sungai \\ N_u & : Jumlah \ alur \ sungai \ orde \ ke-u \\ N_{u+1} & : Jumlah \ alur \ sungai \ orde \ ke \ u+1 \end{array}$ 

Strahler (1964; dalam Verstappen, 1983) menyatakan bahwa jika suatu DAS yang memiliki rasio cabang sungai atau *bifurcation ratio* (Rb) kurang dari 3 atau lebih dari 5 maka diindikasikan DAS tersebut telah mengalami deformasi akibat pengaruh tektonik.



**Gambar 3**. Penentuan Orde Sungai Menurut Stahler (1964)

# Kelokan Muka Pegunungan

Kelokan muka pegunungan (mountain front sinuosity/Smf)merupakan rangkaian pegunungan yang terdapat pada depan/muka. Kelokan bagian muka pegunungan merupakan suatu indeks yang mencerminkan keseimbangan antara gaya/kekuatan erosi yang mempunyai kecendurangan memotong sepanjang lekukan pegunungan muka dan kekuatan tektonik menghasilkan yang secara langsung pegunungan muka dan bertepatan aktif dengan patahan zona yang mencerminkan tektonik aktif. Doornkamp (1986), membagi klasifikasi kelas tektonik berdasarkan nilai Smf, yaitu kelas tektonik aktif kuat (Smf bernilai 1,2-1,6), kelas tektonik aktif- lemah (Smf bernilai 1,8-3,4) dan kelas tektonik tidak aktif (Smf bernilai 2,0-7,0).

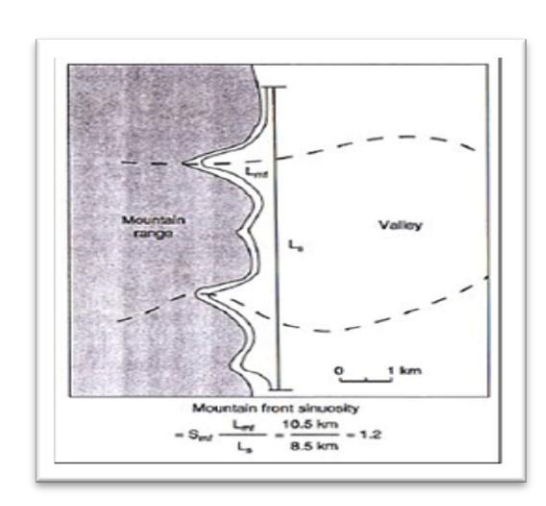
Pegunungan muka (Smf) dapat dihitung dengan menggunakan persamaan:

$$Smf = Lmf / Ls$$

#### Keterangan:

Lmf = panjang pegunungan muka sepanjang bagian bawah/lembah.

Ls = panjang secara lurus pegunungan muka.

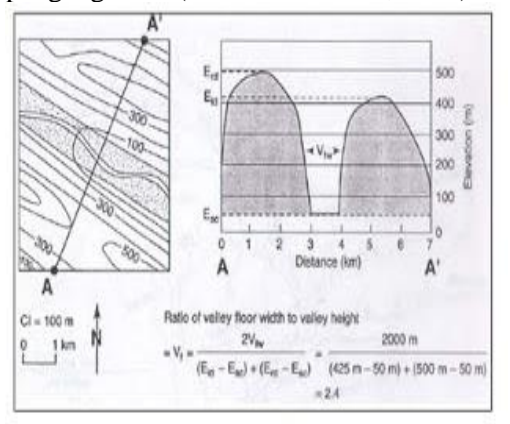


**Gambar 4.** Metode Perhitungan Kelokan Muka Pegunungan Menurut Killer dan Pinter (1996)

#### Perbandingan Lebar dan Tinggi Lembah

Perbandingan lebar dan tinggi lembah (ratio of valley floor width to valley height/ Vf) merupakan nilai perbandingan antara lebar dan tinggi lembah pada suatu daerah.

Nilai Vf tinggi berasosiasi dengan kecepatan pengangkatan rendah, sehingga sungai akan memotong secara luas pada dasar lembah dan bentuk lembah akan semakin melebar. Sedangkan nilai Vf rendah akan merefleksikan lembah dalam dan mencerminkan penambahan aktivitas sungai, hal ini berasosiasi dengan kecepatan pengangkatan (Keller dan Pinter, 1996).



**Gambar 5.** Metode Perhitungan Rasio Lebar dan Tinggi Lembah (Keller dan Pinter, 1996)

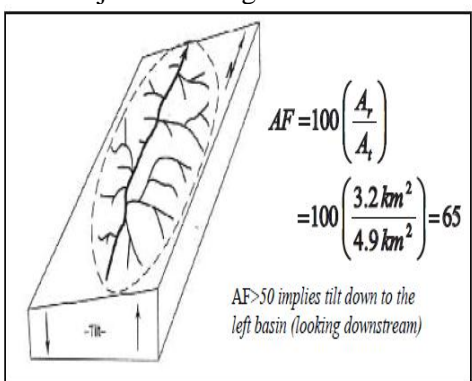
Menurut Bull (2007) menyatakan bahwa nilai  $V_f$  ratio pada muka pegunungan yang aktif kelas I (0,05-0,5), kelas II nilai  $V_f$  berkisar berkisar antara (0,5-3,6), sedangkan kelas III nilai  $V_f$  berkisar antara (2-47).

#### Faktor Asimetri Sungai

Geometri jejaring sungai dapat dijelaskan baik secara kualitatif maupun kuantitatif. Faktor asimetri (*Asymmetry Factor/Af*) dapat memberikan informasi deformasi tektonik aktif dengan membedakan pola dan geometri. Faktor asimetri merupakan salah satu analisis kuantitatif drainage basin untuk mendeteksi kemiringan tektonik (*tectonic tilting*) baik pada skala drainage basin kecil maupun

luas (Keller dan Pinter, 1996 dan Pinter, 1996).

Di mana Ar = luas cekungan di sebelah kanan dari tubuh aliran sungai, dan At = luas total dari cekungan sungai. Dari hasil perhitungan faktor asimetri, Menurut Keller dan Pinter (1996), apabila harga yang diperoleh (AF = 50) maka daerah tersebut relatif stabil, artinya proses tektonik yang bekerja sangat kecil. Apabila nilai AF lebih besar atau kurang dari 50, maka terjadi kemiringan akibat tektonik.



**Gambar 6.** Metode Perhitungan Faktor Asimetri Sungai (Keller dan Pinter, 1996)

Metode ini sangat bagus diterapkan pada drainage basin yang mendasarinya pada batuan yang sama. Metode ini cukup baik untuk aplikasi tektonik karena tidak terpengaruh oleh faktor litologi (seperti perlapisan batuan sedimen) maupun iklim lokal (seperti perbedaan vegetasi).

### 4. HASIL DAN PEMBAHASAN

# Orde dan Tingkat Percabangan Sungai

Sebagian DAS Cikapundung yang dianalisis pada sub bab ini memiliki kisaran orde dari mulai orde ke- 1 sampai orde ke- 5 dengan jumlah total segmen sungai sebanyak 243 segmen dengan total jumlah panjang segmen sungai tersebut secara keseluruhan mencapai 93,76 km.Nilai Rb Orde 1-2 dari 10 sub DAS Cikapundung terdapat nilai yang kurang dari 3 atau lebih dari 5 yaitu pada sub DAS Ckp1 dengan nilai Rb bernilai 9 pada orde 1-2, dan Ckp10 dengan nilai Rb 2,5 pada orde1-2. Nilai Rb tersebut menurut Stahler(1964)

mengidentifikasikan adanya faktor deformasi akibatt pengaruh tektonik.

#### Kelokan Muka Pegunungan

Berdasarkan hasil perhitungan nilai kelokan muka pegunungan (Smf) pada daerah penelitian berkisar antara1,20–3,60 dengan rata- rata tiap subdas bernilai 1,80 - 3,08 yang menurut Doornkamp (1986) termasuk kedalam tektonik menengah sampai lemah.

Nilai Smf pada sub DAS Ckp6, Ckp9, dan Ckp10 memiliki variasi nilai yang berbeda. Pada Sub DAS Ckp 6 memiliki nilai Smf terendah yaitu 1,2 sedangkan Smf tertinggi dapat mencapai 3,37. Sedangkan pada Sub DAS Ckp9 memilki nilai Smf terendah yaitu 2,46 sedangkan Smf tertinggi dapat mencapai 4.09. Demikian juga pada Sub DAS Ckp10 memilki nilai Smf terendah 2,5 sedangkan Smf tertingginya dapat mencapai 2,85. Hal tersebut dikarenakan adanya faktor respon litologi yang mempengaruhi selain dari faktor tektoniknya. Nilai Smf yang kecil lebih dipengaruhi oleh patahan aktif pada daerah tersebut dengan tingkat erosi yang lebih rendah dengan bentuk lembah V yang umumnya terjadi pada litologi yang lebih resisten seperti breksi dan lava (satuan Qvu dan Qyu). Sedangkan nilai Smf yang tinggi lebih dipengaruhi oleh faktor litologi yang kurang resisten sehingga tingkat erosi lebih tinggi merubah bentuk dari lembah sungai menjadi lebih U, umumnya Smf yang besar pada daerah penelitian berada pada litologi tuff, tuffan pasiran, dan kolluvium (satuan Qyt,Qyd,dan Qc).

# Perbandingan Lebar dan Tinggi Lembah (VF)

Nilai Vf rata- rata blok utara senilai 1,42nilai ini lebih besar dari blok selatan senilai 0,96. Menurut Bull (2007) kedua nilai Vf rata- rata tersebut termasuk dalam kelas tektonik menengah.

Nilai Vf1 sampai dengan Vf80 umumnya memiliki variasi nilai yang hampir sama atau tidak banyak selisihnya kecuali pada perhitungan nilai Vf25, Vf26, Vf28, Vf35, Vf36, Vf39, Vf63, Vf71, dan Vf75 yang memiliki nilai Vf lebih besar.

Nilai Vf yang lebih besar tersebut dapat teradi akibat adanya faktor respon litologi yang kurang resisten sehingga erosi berlangsung sangat tinggi dan mengubah bentuk lembah sungai menjadi lebih lebar dan berbetuk U.

# Faktor Asimetri Sungai (Af)

Berdasarkan nilai perhitungan nilai Faktor Asimetri Sungai (Af) pada 10 Sub DAS daerah penelitian memilki Af kurang dari 50 dan lebih dari 50, hal ini menunjukan bahwa bentuk cekungan pengaliran asimetri akibat adanya proses tilting yang bersosiasi dengan dengan patahan aktif daerah penelitian.

#### 5. KESIMPULAN

Berdasarkan perhitungan morfometri Rb,SMf,Vf, dan Af daerah penelitian terdapat indikasi adanya patahan aktif kelas menengah sampai lemah.Nilai Smf dan Vf yang besar diakibatkan adanya faktor respon litologi gunungapi kuarter yang kurang resisten terhadap pelapukan dan erosi sehingga membentuk lembah U.

#### **DAFTAR PUSTAKA**

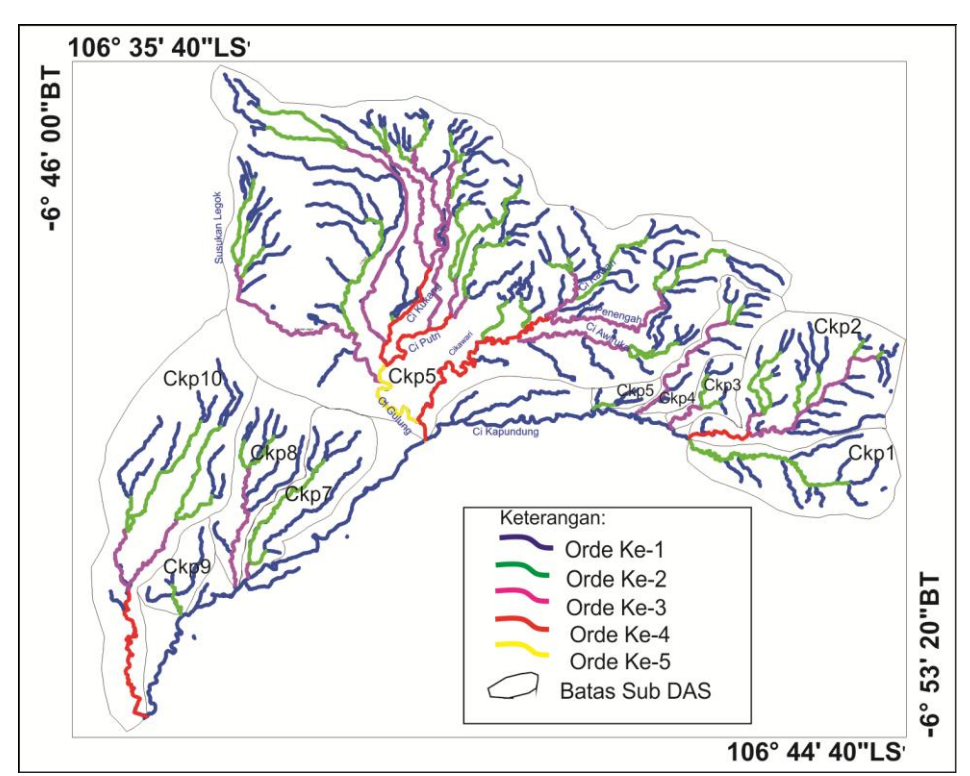
- Bull, William B. 2007. Tectonic Geomorphology of Mountains: A New Approach to Paleoseismology. Blackwell Publishing Ltd.
- Doornkamp, J. C. 1986.

  Geomorphological approaches
  to the study of neotectonics.
  Journal of Geological Society,
  Vol. 143: 335-342.

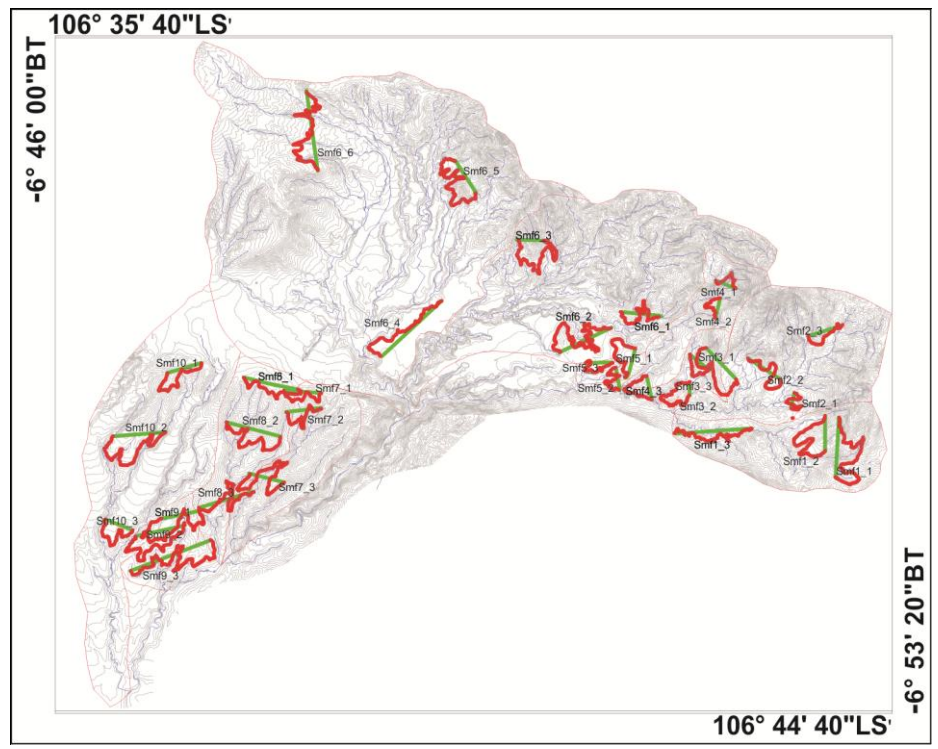
- Keller, E.A., and Pinter, N. 1996. *Active Tectonic Earthquake*, Uplift and Landscape, Prentice hall, Upper saddle river, New Jersey
- Koesoemadinata, R.P. & Hartono, 1981, Stratigrafi dan Sedimentasi daerah Bandung, *Pros. PIT Ke X IAGI*, Jakarta, hal. 318-338.
- Silitonga. 1973. Peta Lembar Geologi Skala 1 :100000 Lembar Bandung. Pusat Penelitian dan Pengembangan Geologi : Bandung
- Soehaemi, A,2011. Seismotektonik Jawa Barat dan mikrozonasi potensi bencana gempa bumi DKI Jakarta. Pusat Survei Geologi. Badan Geologi. Bandung.
- Soewarno. 1991. Hidrologi:

  Pengukuran dan Pengolahan
  Data Aliran Sungai
  (Hidrometri).Bandung: Nova
- Strahler A. N.. 1952. *Hypsometric* (Area-Altitude) Analysis of Erosional Topology. Geological Society of America Bulletin 63.
- Van Bemmelen, R.W. 1949. The Geology of Indonesia, vol. I A:
  General Geology of Indonesia and Adjacement Archipelagoes. Martinus Nijhoff. The Hague.

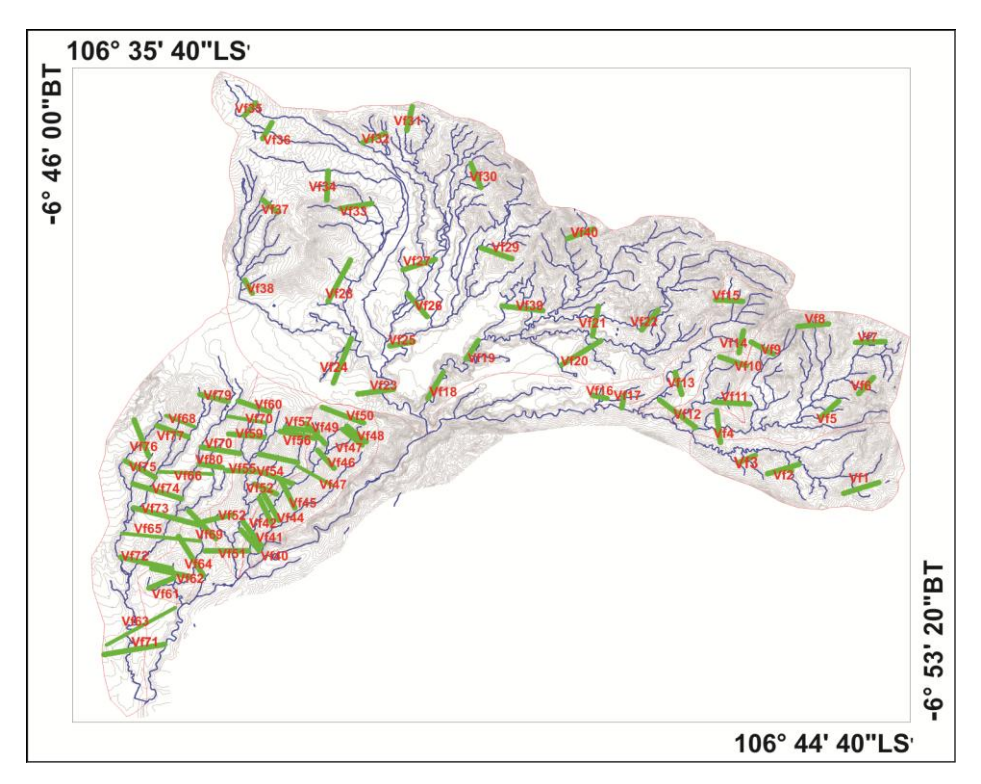
5



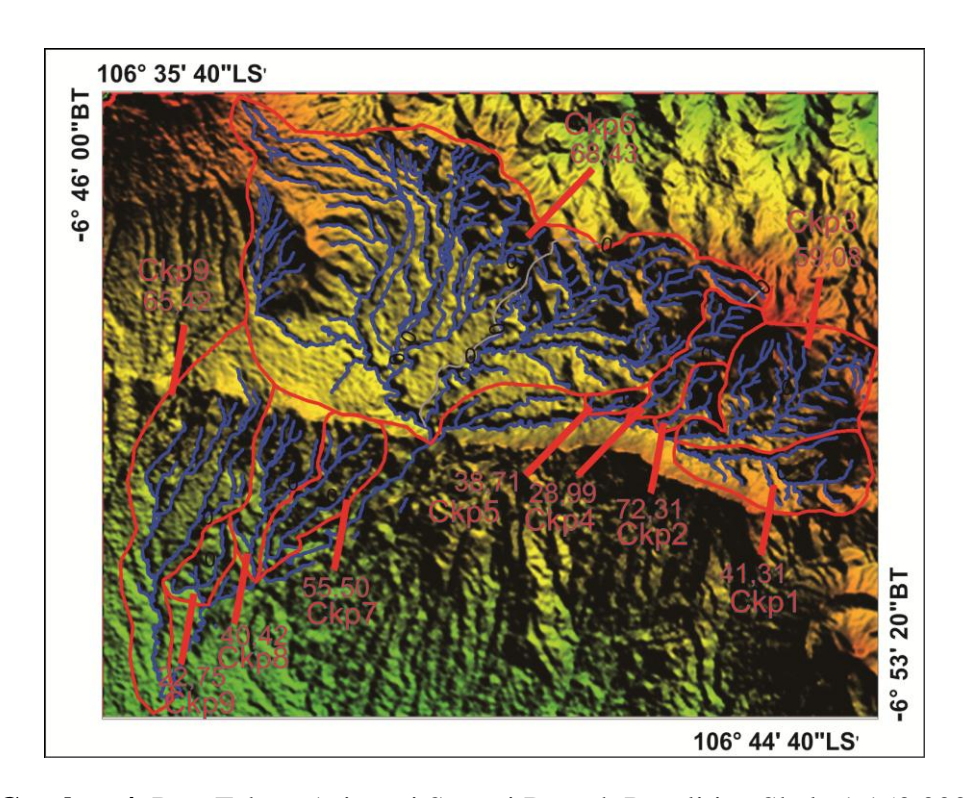
Gambar 1. Peta rasio Percabangan Sungai (Rb)



Gambar 2. Peta Kelokan Muka Pegunungan Daerah Penelitian Skala 1:150.000



**Gambar 3**. Peta Perbandingan Lebar dan Tinggi Lembah Daerah Penelitian Skala 1:150.000



Gambar 4. Peta Faktor Asimetri Sungai Daerah Penelitian Skala 1:150.000

Tabel 1. Pehitungan Nilai Vf Blok Utara

| Kode       | Eld (m) | Erd (m) | Esc(m) | Vfw (m) | Vf   | Faktor Dominan | Satuan litologi |  |
|------------|---------|---------|--------|---------|------|----------------|-----------------|--|
| Vf1        | 1649    |         | 1600   | 5       | 0,07 | Tektonik       | Qyu             |  |
| Vf2        | 1525    |         | 1462   | 44      | -    | Tektonik       | Qyu             |  |
| Vf3        | 1412    | 1424    | 1400   | 17      | 0,94 | Tektonik       | Qyu             |  |
| Vf4        | 1387    | 1387    | 1337   | 68      |      | Tektonik       | Qyu             |  |
| Vf5        | 1287    | 1224    | 1211   | 63      | 1,42 | Tektonik       | Qyu             |  |
| Vf6        | 1674    | 1724    | 1650   | 44      |      | Tektonik       | Qyu             |  |
| Vf7        | 1662    | 1649    | 1625   | 40      | 1,31 | Tektonik       | Qyu             |  |
| Vf8        | 1937    | 1937    | 1875   | 72      | 1,16 | Tektonik       | Qyu             |  |
| Vf9        | 1737    | 1699    | 1686   | 33      | 1,03 | Tektonik       | Qyu             |  |
| Vf10       | 1662    | 1612    | 1599   | 14      | 0,37 | Tektonik       | Qyu             |  |
| Vf11       | 1482    | 1400    | 1387   | 42      | 0,78 | Tektonik       | Qyu             |  |
| Vf12       | 1362    | 1375    | 1324   | 47      | 1,06 | Tektonik       | Qyu             |  |
| Vf13       | 1349    | 1362    | 1325   | 76      | 2,49 | Tektonik       | Qyu             |  |
| Vf14       | 1649    | 1662    | 1637   | 35      | 1,89 | Tektonik       | Qyu             |  |
| Vf15       | 1700    | 1687    | 1649   | 9       | 0,20 | Tektonik       | Qyu             |  |
| Vf16       | 1262    | 1262    | 1237   | 33      | 1,32 | Tektonik       | Qyu             |  |
| Vf17       | 1274    | 1248    | 1237   | 46      | 1,92 | Tektonik       | Qyu             |  |
| Vf18       | 1099    | 1100    | 1087   | 20      | 1,60 | Tektonik       | Qyt             |  |
| Vf19       | 1124    | 1137    | 111    | 181     | 0,18 | Tektonik       | Qyt             |  |
| Vf20       | 1287    | 1224    | 1211   | 63      | 1,42 | Tektonik       | Qvu             |  |
| Vf21       | 1224    | 1224    | 1187   | 29      | 0,78 | Tektonik       | Qvu             |  |
| Vf22       | 1337    | 1287    | 1274   | 64      | 1,68 | Tektonik       | Qvu             |  |
| Vf23       | 1224    | 1175    | 1112   | 36      | 0,41 | Tektonik       | Qyd, Qyt        |  |
| Vf24       | 1162    | 1198    | 1137   | 44      | 1,02 | Tektonik       | Qyd, Qyt        |  |
| Vf25       | 1162    | 1162    | 1137   | 96      | 3,84 | Litologi       | Qyt             |  |
| Vf26       | 1174    | 1174    | 1132   | 132     | 3,14 | Litologi       | Qyd, Qyt        |  |
| Vf27       | 1199    | 1199    | 1162   | 92      | 2,49 | Tektonik       | Qyt             |  |
| Vf28       | 1225    | 1187    | 1174   | 72      | 2,25 | Litologi       | Qyd, Qyt        |  |
| Vf29       | 1212    | 1250    | 1199   | 64      | 2,00 | Tektonik       | Qvu             |  |
| Vf30       | 1325    | 1312    | 1287   | 28      | 0,89 | Tektonik       | Qvu             |  |
| Vf31       | 1412    | 1412    | 1374   | 62      | 1,63 | Tektonik       | Qvu             |  |
| Vf32       | 1387    | 1362    | 1337   | 21      | 0,56 | Tektonik       | Qvu             |  |
| Vf33       | 1287    | 1312    | 1262   | 10      | 0,27 | Tektonik       | Qvu             |  |
| Vf34       | 1424    | 1449    | 1387   | 13      | 0,26 | Tektonik       | Qvu             |  |
| Vf35       | 1687    | 1687    | 1675   | 54      | 4,50 | Litologi       | Qyd             |  |
| Vf36       | 1599    | 1599    | 1587   | 43      | 3,58 | Litologi       | Qc              |  |
| Vf37       | 1487    | 1500    | 1467   | 5       | 0,19 | Tektonik       | Qvu             |  |
| Vf38       | 1287    | 1312    | 1262   | 10      | 0,27 | Tektonik       | Qvu             |  |
| Vf39       | 1237    | 1187    | 1162   | 188     | 3,76 | Litologi       | Qyd             |  |
| Vf40       | 1462    | 1400    | 1346   | 90      | 1,06 | Tektonik       | Qvu             |  |
| Rata- rata |         |         |        |         |      | 1,42           |                 |  |

Tabel 5. Perhitungan Nilai Vf Blok Selatan

| Tabel 5. Perhitungan Nilai Vf Blok Selatan |         |         |         |         |      |                |                 |  |  |  |
|--|---------|---------|---------|---------|------|----------------|-----------------|--|--|--|
| Kode                                       | Eld (m) | Erd (m) | Esc (m0 | Vfw (m) | Vf   | Faktor Dominan | Satuan Litologi |  |  |  |
| Vf41                                       | 812     | 812     | 787     | 34      | 1,36 | Tektonik       | Qyu             |  |  |  |
| Vf42                                       | 912     | 924     | 874     | 21      | 0,48 | Tektonik       | Qyu             |  |  |  |
| Vf43                                       | 1024    | 1000    | 937     | 20      | 0,27 | Tektonik       | Qyu             |  |  |  |
| Vf44                                       | 1024    | 1024    | 987     | 15      | 0,41 | Tektonik       | Qyu             |  |  |  |
| Vf45                                       | 1075    | 1075    | 1049    | 40      | 1,54 | Tektonik       | Qyu             |  |  |  |
| Vf46                                       | 1124    | 1137    | 1062    | 10      | 0,15 | Tektonik       | Qyu             |  |  |  |
| Vf47                                       | 1149    | 1187    | 1124    | 37      | 0,84 | Tektonik       | Qyu             |  |  |  |
| Vf48                                       | 1100    | 1112    | 1087    | 17      | 0,89 | Tektonik       | Qyu             |  |  |  |
| Vf49                                       | 1237    | 1224    | 1199    | 56      | 1,78 | Tektonik       | Qyu             |  |  |  |
| Vf50                                       | 1074    | 1074    | 1049    | 18      | 0,72 | Tektonik       | Qyu             |  |  |  |
| Vf51                                       | 899     | 937     | 874     | 99      | 2,25 | Tektonik       | Qyu             |  |  |  |
| Vf52                                       | 999     | 999     | 974     | 68      | 2,72 | Tektonik       | Qyu             |  |  |  |
| Vf53                                       | 1024    | 1024    | 999     | 24      | 0,96 | Tektonik       | Qyu             |  |  |  |
| Vf54                                       | 1062    | 1062    | 1024    | 38      | 1,00 | Tektonik       | Qyu             |  |  |  |
| Vf55                                       | 1062    | 1074    | 1012    | 13      | 0,23 | Tektonik       | Qyu             |  |  |  |
| Vf56                                       | 1137    | 1124    | 1087    | 14      | 0,32 | Tektonik       | Qyu             |  |  |  |
| Vf57                                       | 1199    | 1237    | 1162    | 46      | 0,82 | Tektonik       | Qyu             |  |  |  |
| Vf58                                       | 1237    | 1249    | 1174    | 10      | 0,14 | Tektonik       | Qyu             |  |  |  |
| Vf59                                       | 1149    | 1187    | 1124    | 67      | 1,52 | Tektonik       | Qyu             |  |  |  |
| Vf60                                       | 1274    | 1300    | 1250    | 64      | 1,73 | Tektonik       | Qyu             |  |  |  |
| Vf61                                       | 862     | 862     | 849     | 7       | 0,54 | Tektonik       | Qyu             |  |  |  |
| Vf62                                       | 912     | 862     | 849     | 30      | 0,79 | Tektonik       | Qyu             |  |  |  |
| Vf63                                       | 837     | 824     | 799     | 89      | 2,83 | Litologi       | Qyd, Qyt        |  |  |  |
| Vf64                                       | 986     | 887     | 862     | 95      | 1,28 | Tektonik       | Qyu             |  |  |  |
| Vf65                                       | 962     | 987     | 912     | 44      | 0,70 | Tektonik       | Qyd, Qyt,Qyu    |  |  |  |
| Vf66                                       | 1062    | 1062    | 1024    | 52      | 1,37 | Tektonik       | Qyu             |  |  |  |
| Vf67                                       | 1100    | 1112    | 912     | 18      | 0,09 | Tektonik       | Qyu             |  |  |  |
| Vf68                                       | 1212    | 1187    | 1175    | 44      | 1,80 | Tektonik       | Qyu             |  |  |  |
| Vf69                                       | 987     | 999     | 937     | 25      | 0,45 | Tektonik       | Qyu             |  |  |  |
| Vf70                                       | 1250    | 1224    | 962     | 10      | 0,04 | Tektonik       | Qyu             |  |  |  |
| Vf71                                       | 812     | 812     | 787     | 34      |      | Litologi       | Qyd, Qyt        |  |  |  |
| Vf72                                       | 912     | 924     | 874     | 21      | 0,48 | Tektonik       | Qyd, Qyt        |  |  |  |
| Vf73                                       | 1024    | 1000    | 937     | 20      | 0,27 | Tektonik       | Qyd, Qyt,Qyu    |  |  |  |
| Vf74                                       | 1024    | 1024    | 987     | 15      | 0,41 | Tektonik       | Qyd, Qyt,Qyu    |  |  |  |
| Vf75                                       | 1075    | 1075    | 1049    | 40      | 1,54 | Litologi       | Qyd, Qyt        |  |  |  |
| Vf76                                       | 1124    | 1137    | 1062    | 10      | 0,15 | Tektonik       | Qyt,Qyu         |  |  |  |
| Vf77                                       | 1149    | 1187    | 1124    | 37      |      | Tektonik       | Qyu             |  |  |  |
| Vf78                                       | 1100    | 1112    | 1087    | 17      | 0,89 | Tektonik       | Qyu             |  |  |  |
| Vf79                                       | 1237    | 1224    | 1199    | 56      | 1,78 | Tektonik       | Qyu             |  |  |  |
| Vf80                                       | 1074    | 1074    | 1049    | 18      | 0,72 | Tektonik       | Qyu             |  |  |  |
| Rata- Rata                                 |         |         |         |         |      | 0,96           |                 |  |  |  |